

种朋贵,丁瑜,高鸿.七氟醚对单肺通气致肺损伤保护作用研究 [J]. 中国比较医学杂志, 2019, 29(4): 82–87.

Zhong PG, Ding Y, Gao H. Protective effects of sevoflurane on lung injury induced by one-lung ventilation in rabbits [J]. Chin J Comp Med, 2019, 29(4): 82–87.

doi: 10.3969/j.issn.1671-7856. 2019. 04. 014

七氟醚对单肺通气致肺损伤保护作用研究

种朋贵¹, 丁 瑜¹, 高 鸿^{2*}

(1. 贵阳中医学院第二附属医院, 贵阳 550003; 2. 贵州医科大学附属医院, 贵阳 550004)

【摘要】 目的 探讨七氟醚对单肺通气(one-lung ventilation, OLV)所致兔急性肺损伤后的保护作用及机制。方法 采用36只白兔随机分为3组, 分别为假手术组、单肺通气组、单肺通气+七氟醚组。其中单肺通气+七氟醚组按七氟醚浓度不同分为几个亚组。采用ELISA法检测兔肺组织中花生四烯酸(arachidonic acid, AA)含量, 同时测定肺W/D值, 通过HE染色观察肺组织形态学变化; 采用RT-qPCR法检测肺组织中Clara细胞分泌蛋白(CCSP)和胞质型磷脂酶A₂(C-PLA₂)mRNA表达水平; 采用Western blot法检测肺组织中CCSP和C-PLA₂蛋白表达。结果单肺通气组肺组织中花生四烯酸含量、肺损伤程度及C-PLA₂蛋白和mRNA表达水平均较假手术组明显增加($P<0.05$), 而CCSP蛋白和mRNA表达水平明显降低($P<0.05$); 单肺通气+七氟醚组兔肺组织中花生四烯酸、肺损伤及肺组织C-PLA₂蛋白和mRNA表达水平较单肺通气组下降($P<0.05$), 而CCSP蛋白和mRNA表达增加; 单肺通气+不同浓度七氟醚组肺组织中花生四烯酸含量、肺损伤程度及C-PLA₂蛋白和mRNA表达水平随浓度的增加而逐渐降低($P<0.05$), 而CCSP蛋白及mRNA表达无显著性差异。结论 七氟醚保护单肺通气所致肺损伤的作用机制可能与下调C-PLA₂途径, 减少肺组织中AA生成有关。

【关键词】 花生四烯酸; 七氟醚; 胞质型磷脂酶A₂; Clara细胞分泌蛋白

【中图分类号】 R-33 **【文献标识码】** A **【文章编号】** 1671-7856(2019) 04-0082-06

Protective effects of sevoflurane on lung injury induced by one-lung ventilation in rabbits

ZHONG Penggui¹, DING Yu¹, GAO Hong^{2*}

(1. The Second Affiliated Hospital of Guiyang College of Traditional Chinese Medicine, Guiyang 550003, China)

2. Affiliated Hospital of Guizhou Medical University, Guiyang 550004)

【Abstract】 Objective To study the protective effect and mechanism of action of sevoflurane on the acute lung injury in rabbits with one-lung ventilation. **Methods** Thirty-six rabbits were randomly divided into three groups: sham-operation group, one-lung ventilation group, and one-lung ventilation + sevoflurane group. The sevoflurane concentration in the one-lung ventilation + sevoflurane group was varied to create several subgroups. The level of arachidonic acid in lung tissue of rabbits was determined by ELISA, and the W/D value of lung was measured. The morphological changes of lung tissue were examined pathology. The expression levels of Clara cell secretory protein (CCSP) and cytoplasmic phospholipase A2 (C-PLA₂) mRNA in the lung tissue were determined by RT-qPCR. The expression levels of CCSP and C-PLA₂ protein in lung tissue were detected by western blotting. **Results** The level of arachidonic acid, the degree of lung injury, and the expression of C-PLA₂ protein and mRNA in the lung tissue of the one-lung ventilation group were

[基金项目] 贵州省卫计委科学技术(gzwjkj2014-2-122)。

[作者简介] 种朋贵(1980—), 男, 副主任医师, 研究方向: 心血管麻醉基础及临床研究。E-mail: streemoney@163.com

[通信作者] 高鸿(1965—), 男, 教授, 研究方向: 围术期器官保护。E-mail: 2169627@qq.com

significantly higher than those of the sham operation group ($P < 0.05$), while the expression levels of CCSP protein and mRNA were significantly lower ($P < 0.05$). Arachidonic acid, lung injury, C-PLA₂protein, and mRNA expression in the lung tissue of rabbits in the one-lung ventilation + sevoflurane group were lower than those in the one-lung ventilation group ($P < 0.05$), while CCSP protein and mRNA expression levels were increased. The level of arachidonic acid, the degree of lung injury, and the expression of C-PLA2 protein and mRNA in lung tissue of the one-lung ventilation + sevoflurane group were decreased with increasing sevoflurane concentration ($P < 0.05$), but there were no significant differences in the expression of CCSP protein and mRNA. **Conclusions** The protective mechanism of sevoflurane against lung injury induced by one-lung ventilation may be related to downregulation of the C-PLA2 pathway and reduction of arachidonic acid production in the lung tissue.

[Keywords] Sevoflurane; arachidonic acid; C-PLA₂; Clara cell secretory protein

目前单肺通气(OLV)广泛应用于肺叶切除、胸科、食管癌等手术,目的是为了给手术提供有效的手术视野,同时防止将健康肺污染。但 OLV 在实际操作中,可导致肺组织内大量炎症因子分泌^[1],持续 2 h 以上可引起急性肺损伤(acute lung injury, ALI),其原因可能是 OLV 过程中两侧肺组织含水量存在差异,肺泡腔中的压力差会使肺上皮细胞病理改变和异常出血。因此,有效控制肺部感染,不但对患者预后有益,同时对提高患者生活质量也有益。

Giraud 等^[2]对 ALI 小鼠模型研究发现,使用氟烷能降低支气管肺泡灌洗液中炎症因子水平,同时减轻肺组织内粒细胞的浸润,第一次提出吸入麻醉药的肺保护效应。七氟醚是临床常用挥发性麻醉药,近年来许多研究表明七氟醚对 OLV 所致肺损伤产生保护效应^[3-4],但其作用机制并未完全阐明,且是否与花生四烯酸及其代谢产物有关,尚未有报道。因此本研究为防治 OLV 所致肺损伤寻找新的干预途径提供一定依据。

1 材料和方法

1.1 实验动物

2 月龄 36 只健康日本大白兔(体重 2.0~2.2 kg),雌雄不限,购买自北京华阜康生物科技股份有限公司[SCXK(京)2014-0004]。实验在贵州医科大学麻醉学院科研平台进行[SYXK(贵)2015-0023]。将白兔随机分为 3 组,分别为假手术组(S 组, $n=6$),单肺通气组(OLV 组, $n=6$)、单肺通气+七氟醚组(OS 组, $n=24$)。而单肺通气+七氟醚组根据七氟醚浓度进一步分为 1 vol%、2 vol%、3 vol%、4 vol% 浓度亚组($n=6$)。经贵阳中医学院第二附属医院实验伦理委员会审核并批准(伦理审批号:2018-3-1-7)。

假手术组:肌注氯胺酮 25 mg/kg 后,仰卧固定,

行兔颈切开,暴露分离右侧颈静脉、气管及左侧颈总动脉;单肺通气组则是导管调整至右主支气管,通气 2 h,后进行 1 h 双肺通气;单肺通气+七氟醚组实施方法与单肺通气组相同,但给予不同浓度七氟醚。

1.2 主要试剂与仪器

七氟醚(日本丸石制药),花生四烯酸(AA)检测试剂盒(上海樊克生物科技有限公司),C-PLA₂抗体、CCSP 抗体(购于 Sigma 公司),TRIzol 试剂盒(美国 Invitrogen 公司),逆转录和 PCR 反应试剂(日本 TaKaRa 公司),9600 PCR 扩增仪(美国 PE 公司),多功能麻醉机(美国 Datex Ohmeda)。

1.3 实验方法

1.3.1 肺组织标本采集

RT-qPCR 及 Western blot 法取右肺中叶组织进行 C-PLA₂、CCSP mRNA 及蛋白检测。取右肺上叶组织采用 ELISA 检测花生四烯酸含量。而 HE 染色及测定 W/D 比值取右肺下叶组织。

1.3.2 肺 W/D 比值

取兔右肺下叶组织称重,然后放入 80℃ 恒温烤箱中 3 d 至恒重再称重,两次称重之比为 W/D 值。

1.3.3 肺组织 HE 染色及评分

将各组肺组织用 4% 多聚甲醛中固定,脱水后石蜡包埋,切片作 HE 染色,观察其形态组织学差异;肺组织 HE 切片依据中性粒细胞浸润、间质和肺泡水肿、肺泡内充血程度进行评分,将无、轻、中、重、极重度病变分别评为 0、1、2、3、4 分。计算 4 项指标的总分为肺组织病理学评分。

1.3.4 ELISA 法检测肺组织中花生四烯酸含量

取兔右肺上叶组织,按 ELISA 试剂盒说明书操作检测花生四烯酸含量。

1.3.5 RT-qPCR 检测兔肺组织 C-PLA₂、CCSP mRNA 表达水平

分别取各组兔肺组织 30 mg,按总 RNA 提取试

剂盒、逆转录试剂盒说明书分别提取各组总 RNA 及逆转录合成 cDNA 模板, 取 2 μ L cDNA 用于 RT-PCR 反应。 β -actin 作为内参, 上游引物: 5'-AGCCCCAAGCCAGGATACACT-3'; 下游引物: 5'-CAGGGAACATA GGCACAAACG-3'; C-PLA₂ 上游引物: 5'-TCTAGCGCAGTCGATCATCAAT-3'; 下游引物: 5'-AACCCCCCTAACTTCTAGA-3'。CCSP 上游引物: 5'-GCTCCCCGTGCGTCTA CTCC-3'; 下游引物: 5'-GTTACCCTCCTCTCTCCTGG-3'。RT-qPCR 反应条件: 预变性 94℃ 30 s, 变性 95℃ 15 s, 退火 60℃ 30 s, 40 个循环, 独立实验重复 3 次。用系统软件进行结果分析: 样品的相对表达用 $2^{-\Delta\Delta Ct}$ 表示。

1.3.6 Western blot 法检测兔肺组织中 C-PLA₂、CCSP 蛋白水平

在肺组织(50 mg)中加 1 mL 裂解液, 冰上均浆, 4℃离心 10 min, 经 BCA 法蛋白定量后上样, SDS-PAGE 凝胶电泳分离蛋白质: 制备 5%浓缩胶及 12%的分离胶。电泳: 调解电压至 80 V、90 min 后转为 100 V 至溴酚蓝跑至距分离胶底部 0.5 cm 时停止。转膜: 280 mA 恒流 1 h, 结束后关闭电源取出 PVDF 膜, 在丽春红染液中浸泡 10 min, 如有条带显现说明转膜成功, 采用含 5% 脱脂奶粉的 TBST 封闭液封闭 1.5 h。加一抗, 4℃冰箱过夜。加二抗 37℃ 2 h, 结束后用 TBST 漂洗 3 次, 每次 10 min, 后显影。用 Quantity One 软件对蛋白质条带进行分析, 测定其吸光度值。目的蛋白的相对表达强度 = 目的蛋白的吸光度值/GAPDH 的吸光度值。

1.4 统计学方法

采用 SPSS17.0 软件进行分析。计量资料采用平均数±标准差($\bar{x}\pm s$)表示, 数据服从正态分布及方差齐性, 使用单因素方差分析, 以 $P<0.05$ 为差异有统计学意义。

2 结果

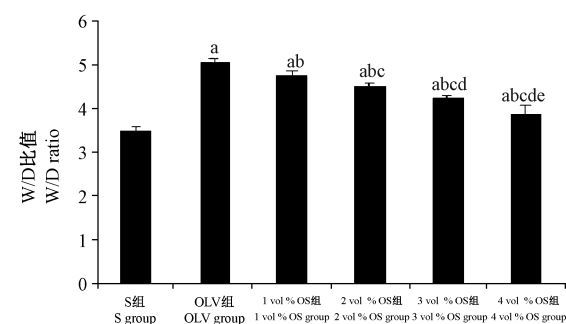
2.1 肺 W/D 比值

OLV 组、OS 组肺 W/D 比值较 S 组显著上升($P<0.05$); 不同浓度 OS 组 W/D 比值较 OLV 组明显下降($P<0.05$); 不同浓度 OS 组 W/D 比值随着七氟醚浓度增加而下降($P<0.05$)。

2.2 肺组织 HE 染色及评分

假手术组(S 组)肺组织无明显病理改变; 单肺通气组(OLV 组)肺内发现大量出血, 肺泡壁增厚和渗出, 肺泡腔内有很多炎性细胞及红细胞浸润; 单肺通气+七氟醚组(OS 组)随着七氟醚浓度增加, 肺

泡壁增厚及渗出情况减轻, 同时肺泡腔内炎性细胞及红细胞浸润也逐渐减轻, 详见图 2。肺组织病理学评分详见图 3。



注: 与 S 组比较,^a $P<0.05$; 与 OLV 组比较,^b $P<0.05$; 与 1 vol%OS 组比较,^c $P<0.05$; 与 2 vol%OS 组比较,^d $P<0.05$; 与 3 vol%OS 组比较,^e $P<0.05$ 。

图 1 肺 W/D 比值($n=6$)

Note. Compared with S group, ^a $P < 0.05$. Compared with OLV group, ^b $P < 0.05$. Compared with 1 vol%OS group, ^c $P < 0.05$. Compared with 2 vol%OS group, ^d $P < 0.05$. Compared with 3 vol%OS group, ^e $P < 0.05$.

Figure 1 Values of the lung W/D ratio

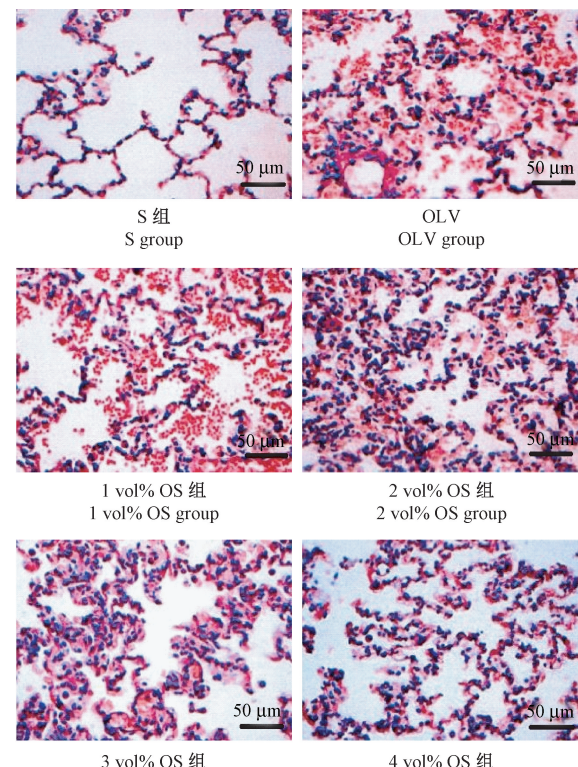


图 2 各组兔肺组织 HE 染色($\times 400$)

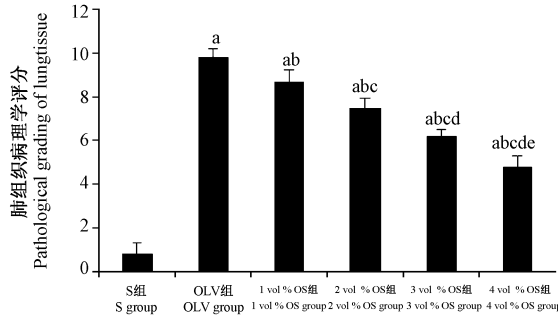
Figure 2 Pathological changes of the rabbits lung tissue in each group

2.3 ELISA 法检测肺组织中花生四烯酸含量

OLV 组、OS 组肺组织中 AA 含量较 S 组显著上升 ($P < 0.05$) ; 不同浓度 OS 组肺组织中 AA 含量较 OLV 组明显下降 ($P < 0.05$) ; 不同浓度 OS 组 AA 含量随着七氟醚浓度增加而下降 ($P < 0.05$) 。见图 4。

2.4 各组肺组织中 C-PLA₂、CCSP mRNA 表达水平

不同浓度 OS 组肺组织中 C-PLA₂ mRNA 表达水平较 OLV 组明显下降 ($P < 0.05$) , 而肺组织中

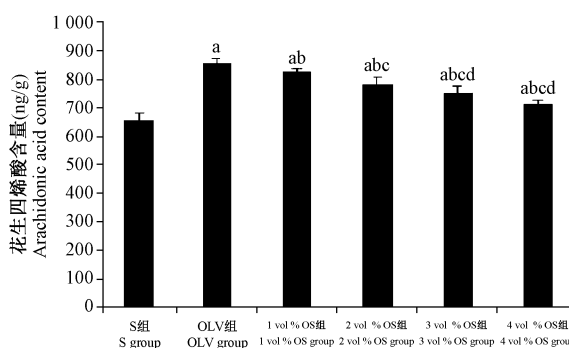


注:与 S 组比较,^a $P < 0.05$;与 OLV 组比较,^b $P < 0.05$;与 1 vol%OS 组比较,^c $P < 0.05$;与 2 vol%OS 组比较,^d $P < 0.05$;与 3 vol%OS 组比较,^e $P < 0.05$ 。

图 3 肺组织病理学评分 ($n=6$)

Note. Compared with S group, ^a $P < 0.05$. Compared with OLV group, ^b $P < 0.05$. Compared with 1 vol%OS group, ^c $P < 0.05$. Compared with 2 vol%OS group, ^d $P < 0.05$. Compared with 3 vol%OS group, ^e $P < 0.05$.

Figure 3 Pathological grading of lung tissue



注:与 S 组比较,^a $P < 0.05$;与 OLV 组比较,^b $P < 0.05$;与 1 vol%OS 组比较,^c $P < 0.05$;与 2 vol%OS 组比较,^d $P < 0.05$;与 3 vol%OS 组比较,^e $P < 0.05$ 。

图 4 各组肺组织中花生四烯酸含量 ($n=6$)

Note. Compared with S group, ^a $P < 0.05$. Compared with OLV group, ^b $P < 0.05$. Compared with 1 vol%OS group, ^c $P < 0.05$. Compared with 2 vol%OS group, ^d $P < 0.05$. Compared with 3 vol%OS group, ^e $P < 0.05$.

Figure 4 Levels of arachidonic acid in the lung tissues of each group

CCSP mRNA 表达水平明显上升 ($P < 0.05$) ; OLV 组和 OS 组肺组织中 C-PLA₂ mRNA 表达水平较 S 组明显上升 ($P < 0.05$) , 而肺组织中 CCSP mRNA 表达水平明显下降 ($P < 0.05$) ; OS 组肺组织中 C-PLA₂ mRNA 表达水平随着七氟醚浓度的提高逐渐下降 ($P < 0.05$) , 而 CCSP mRNA 表达水平无明显差异。见图 5。

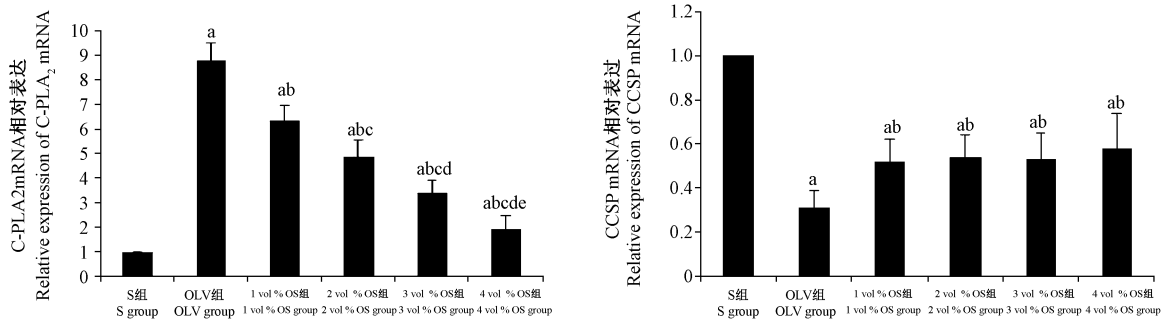
2.5 Western blot 检测结果

OLV 组和 OS 组肺组织中 C-PLA₂ 蛋白表达较 S 组明显上升 ($P < 0.05$) , 而 CCSP 蛋白表达较 S 组明显下降 ($P < 0.05$) ; 不同浓度 OS 组肺组织中 C-PLA₂ 蛋白表达水平较 OLV 组明显下降 ($P < 0.05$) , 而 CCSP 蛋白表达较 OLV 组明显上升 ($P < 0.05$) ; 随着七氟醚浓度的提高, OS 组肺组织中 C-PLA₂ 蛋白表达水平逐渐下降 ($P < 0.05$) , 而 CCSP 蛋白表达水平无明显差异。见图 6。

3 讨论

随着胸外科手术发展,单肺通气在其应用日益广泛。许多研究表明^[5]:长时间单肺通气可引起炎症反应,导致肺损伤,如果单肺通气时间超过 2 h 则可能引发急性肺损伤。ALI 发病原因不仅与炎性细胞、因子介导的氧化应激反应存在关系,同时与机械性损伤、容量伤有关^[6],主要表现为炎性介质水平升高以及肺水肿为主的肺损伤。而花生四烯酸(AA)在多种炎症介质中被认为是内源性致炎因子的重要来源^[7]。

研究证实,磷脂酶 A₂ 广泛分布于皮肤、胃肠道、肺部、心血管等部位可调控花生四烯酸(AA)生成^[8],而花生四烯酸及其代谢产物具有聚集白细胞、增加血管通透性等作用。研究表明 PLA₂ 在花生四烯酸生成中起到限速酶作用,在 PLA₂ 家族中,胞质型 PLA₂ 是对 Sn-2 位的 AA 具有优先选择性^[9],在 AA 类产物及后续炎症中具有重要作用。当发生炎症时,C-PLA₂ 的活化水平某种程度决定了 AA 的产生量,敲除 C-PLA₂ 基因大鼠可减轻炎症的发生^[10],但肺 Clara 细胞分泌蛋白(CCSP)被认为是 PLA₂ 的内源性抑制剂。文献报道,对脂多糖和呼吸机诱导的肺损伤,CCSP 能够抑制 C-PLA₂ 表达而起到保护作用^[11]。本实验发现,OLV 组兔肺组织中 C-PLA₂ mRNA 和蛋白表达水平、W/D 值、肺组织病理学评分和 AA 含量较 S 组明显增加,肺组织损伤明显,而 CCSP mRNA 和蛋白表达水平明显下降。

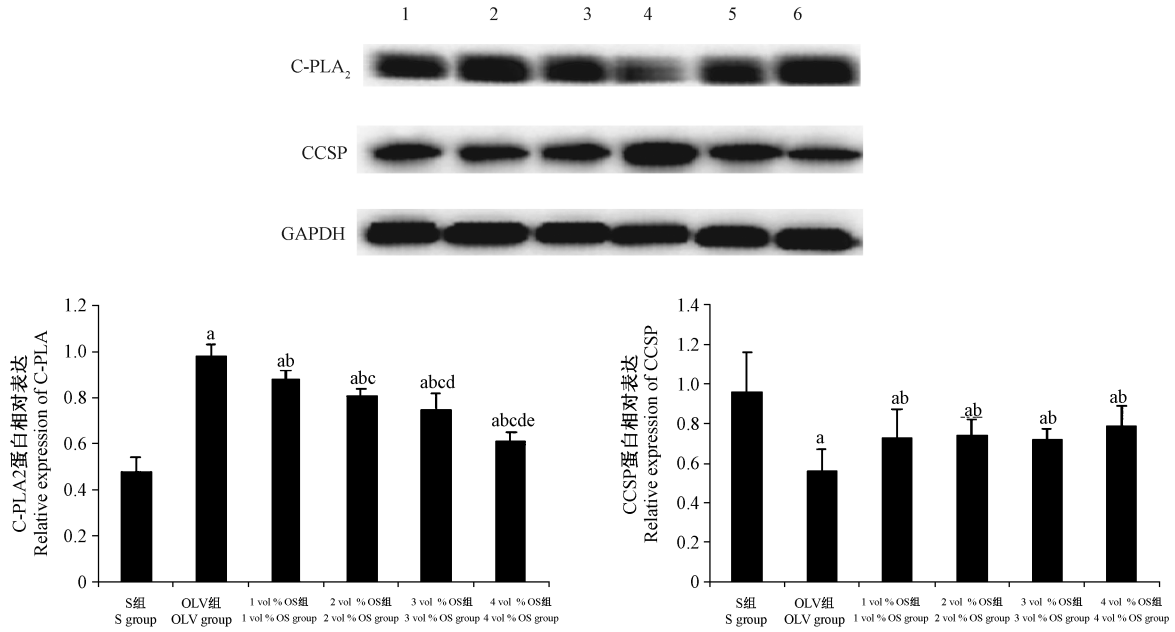


注:与 S 组比较,^a $P < 0.05$;与 OLV 组比较,^b $P < 0.05$;与 1 vol%OS 组比较,^c $P < 0.05$;与 2 vol%OS 组比较,^d $P < 0.05$;与 3 vol%OS 组比较,^e $P < 0.05$ 。

图 5 各组肺组织中 C-PLA₂、CCSP mRNA 表达水平 ($n=6$)

Note. Compared with S group, ^a $P < 0.05$. Compared with OLV group, ^b $P < 0.05$. Compared with 1 vol%OS group, ^c $P < 0.05$. Compared with 2 vol%OS group, ^d $P < 0.05$. Compared with 3 vol%OS group, ^e $P < 0.05$.

Figure 5 Expression levels of C-PLA₂ and CCSP mRNA in the lung tissue of each group



注:1: 3 vol%OS 组;2: 1 vol%OS 组;3: 2 vol%OS 组;4: S 组;5: 4 vol%OS 组;6: OLV 组。与 S 组比较,^a $P < 0.05$;与 OLV 组比较,^b $P < 0.05$;与 1 vol%OS 组比较,^c $P < 0.05$;与 2 vol%OS 组比较,^d $P < 0.05$;与 3 vol%OS 组比较,^e $P < 0.05$ 。

图 6 Western blot 检测肺组织中 C-PLA₂、CCSP 蛋白表达 ($n=6$)

Note. 1, 3 vol%OS group; 2, 1 vol%OS group; 3, 2 vol%OS group; 4, S group; 5, 4 vol%OS group; 6, OLV group. Compared with S group, ^a $P < 0.05$. Compared with OLV group, ^b $P < 0.05$. Compared with 1 vol%OS group, ^c $P < 0.05$. Compared with 2 vol%OS group, ^d $P < 0.05$. Compared with 3 vol%OS group, ^e $P < 0.05$.

Figure 6 Expression of C-PLA2 and CCSP proteins in the lung tissue determined by Western blot

这一结果说明,OLV 对 CCSP mRNA 和蛋白起到抑制作用,同时上调 C-PLA₂ 表达引起 AA 大量生成,诱发急性肺损伤。

七氟醚是目前广泛应用于临床的麻醉药,其血气分配系数低,对呼吸道刺激小,可控性强。文献报道,在手术期间使用七氟醚较丙泊酚更能降低支

气管肺泡灌洗液中 IL-1 β 、IL-8 的浓度,这表明七氟醚可以减轻单肺通气后肺泡内的炎症反应^[12]。Kim 等^[3]对家兔机械通气模型发现,采用 0.8% 七氟醚可以抑制 ERK1/2 通路活化,表现为模型家兔的氧合功能明显改善,同时肺损伤程度减轻,支气管肺泡灌洗液中 IL-8 释放下降。在本实验中,实验人员

建立了单肺通气+不同浓度七氟醚组,结果显示给予不同浓度七氟醚后,单肺通气免肺组织中 C-PLA₂ mRNA 和蛋白表达水平、W/D 值、肺组织病理学评分和 AA 含量较 OLV 组明显下降,而 CCSP mRNA 和蛋白表达水平明显上升。这一结果说明,七氟醚能够激活 CCSP 的表达,从而抑制 C-PLA₂ 表达进而生成的 AA 下降,发挥单肺通气所致急性肺损伤的保护作用。同时,不同组免肺组织病理学评分、C-PLA₂ mRNA 和蛋白表达水平以及 AA 含量均随着七氟醚浓度增加而逐渐下降,具有线性关系,而 CCSP 表达水平并未随七氟醚浓度增加而明显变化,这提示七氟醚抑制 C-PLA₂ 表达还可能其他机制有关。

研究发现,单肺通气对肺组织中 C-PLA₂ 的调控与激活 NF-κB 有关,活化后的 NF-κB 在细胞核内与启动子结合,调控不同基因表达^[13]。还有研究表明,NADPH 氧化酶、MAPKs、AP-1 等都与 C-PLA₂ 激活有关^[14-15]。而七氟醚对 NADPH 氧化酶、MAPKs、AP-1 等因子又有抑制作用^[16]。因此,七氟醚对 C-PLA₂ 的抑制作用可能与别的因子有关,还需进一步研究。而对 CCSP mRNA 和蛋白表达水平并未随七氟醚浓度增加而明显变化这一现象,考虑七氟醚浓度对 CCSP 表达是否具有封顶效应,这还有待进一步研究。

目前支气管麻醉伴随胸科手术日益增多,在单肺通气时,不仅需要发挥其优点,也要尽可能避免所带来的肺损伤。实验结果表明,七氟醚可以抑制单肺通气时急性肺损伤,减轻病理学改变,其机制可能与抑制 C-PLA₂ 表达,进而使生成的 AA 下降,发挥单肺通气所致急性肺损伤的保护作用,但抑制 C-PLA₂ 表达是否由上调 CCSP 表达来实现,仍需进一步研究。

参考文献:

- [1] Gao W, Liu DD, Li D, et al. Effect of therapeutic hyper-capnia on inflammatory responses to one-lung ventilation in lobectomy patients [J]. Anesthesiology, 2015, 122 (6) :1235-1252.
- [2] Giraud O, Seince PF, Rolland C, et al. Halothane reduces the early lipopolysaccharide-induced lung inflammation in mechanically ventilated rats [J]. Am J Respir Crit Care Med, 2000, 162 (6) :2278-2286.
- [3] Kim SH, Li M, Pyeon TH, et al. The volatile anesthetic sevoflurane attenuates ventilator-induced lung injury through inhibition of ERK1/2 and Akt signal transduction [J]. Korean J Anesthesiol, 2015, 68 (1) ,62-69.
- [4] Sun XJ, Li XQ, Wang XL, et al. Sevoflurane inhibits nuclear factor-kappaB activation in lipopolysaccharide-induced acute inflammatory lung injury via Toll-like receptor 4 signaling [J]. PLoS One, 2015, 10 (4) :e0122752.
- [5] Bhargava R, Janssen W, Altmann C, et al. Intratracheal IL-6 protects against lung inflammation in direct, but not indirect, causes of acute lung injury in mice [J]. PLoS One, 2013, 8 (5) : e61405
- [6] 郭磊,刘龙丁,梅俊杰.酸吸入性肺损伤小鼠模型的建立[J].中国实验动物学报,2015,23(4):347-352.
- [7] Kometani T, Okamoto T, Yoshida S, et al. Acute respiratory distress syndrome after pulmonary resection [J]. Gen Thorac Cardiovasc Surg, 2013, 61 (9) : 504-512.
- [8] Higuchi S, Ohtsu H, Suzuki H, et al. Angiotensin II signal transduction through the AT1 receptor: novel insights into mechanisms and pathophysiology [J]. Clin Sci (Lond), 2007, 112 (8) : 417-428.
- [9] Leslie CC. Regulation of arachidonic acid availability for eicosanoid production [J]. Biochem Cell Biol, 2004, 82 (1) :1-17.
- [10] Uozumi N, Shimizu T. Roles for cytosolic phospholipase A2alpha as revealed by gene-targeted mice [J]. Prostaglandins Other Lipid Mediat, 2002,68-69;59-69.
- [11] Yoshikawa S, Miyahara T, Reynolds SD, et al. Clara cell secretory protein and phospholipase A2 activity modulate acute ventilator-induced lung injury in mice [J]. J Appl Physiol (1985), 2005, 98 (4) :1264-1271.
- [12] Schilling T, Kozian A, Senturk M, et al. Effects of volatile and intravenous anesthesia on the alveolar and systemic inflammatory response in thoracic surgical patients [J]. Anesthesiology, 2011, 115 (1) :65-74.
- [13] Catrysse L, Van Loo G. Inflammation and the metabolic syndrome: The tissue-specific functions of NF-κB [J]. Trends Cell Biol, 2017, 27 (6) : 417-29.
- [14] Cheng SE, Luo SF, Jou MJ, et al. Cigarette smoke extract induces cytosolic phospholipase A2 expression via NADPH oxidase, MAPKs, AP-1, and NF-kappaB in human tracheal smooth muscle cells [J]. Free Radic Biol Med, 2009, 46 (7) :948-960.
- [15] Fan Z, Jian S, Thomas G, Wood, et al. Alteration in the activation state of new inflammation associated targets by phospholipase A2-Activating protein (PLAA) [J]. Cell Signal, 2008, 20 (5) : 844-861.
- [16] Wang H, Lu S, Yu Q, et al. Sevoflurane preconditioning confers neuroprotection via anti-inflammatory effects [J]. Front Biosci (Elite Ed), 2011, 3:604-615.